

01;05

## Механические свойства материалов и предмет описания калибровочной теории

© Ю.В. Гриняев, Н.В. Чертова

Институт физики прочности и материаловедения СО РАН,  
634821 Томск, Россия

(Поступило в Редакцию 9 января 1997 г.)

Полная деформация неупругого материала в рамках континуальной теории дефектов может быть представлена в виде суммы необратимой упругой деформации, связанной с внешними нагрузками, совместной упругопластической деформации, обусловленной дефектами материала, и совместной пластической, определяющей необратимое формоизменение материала. Предложенная схема разбиения деформации позволяет определить физическое содержание неупругих свойств материалов и предмет описания калибровочной модели, представляющей динамическое обобщение континуальной теории дефектов.

### Введение

В многочисленных работах [1–6], посвященных калибровочному описанию деформации твердых тел с дефектами, наиболее подробно рассматривается математический формализм калибровочных теорий, связь с континуальной теорией дефектов, некоторые феноменологические обобщения теории и решения в виде плоских волн. Возможность описания основных механических свойств твердых тел в рамках данного подхода в названных работах не рассматривалась. Реальные материалы в той или иной мере проявляют три основных механических свойства: упругость, пластичность и вязкость. Упругие свойства материалов хорошо описываются классической теорией упругости [7], в которой рассматриваются обратимые равновесные процессы. В упругой области деформирования при изменении напряжений (независимого параметра) упругая деформация (сопряженный параметр) "мгновенно" подстраивается к равновесному значению, а при разгрузке система возвращается в начальное состояние по тому же пути, что и при нагрузке. Напряжения и упругие деформации как параметры, характеризующие состояние системы, однозначно связаны материальным соотношением — законом Гука. На основе диаграммы нагружения с последующей разгрузкой (рис. 1) можно установить, какая часть полной деформации обратима, т.е. является упругой. Деформация, оставшаяся в материале после упругой разгрузки, в феноменологических теориях пластичности полагается пластической. В теориях пластичности рассматриваются задачи, относящиеся к той части  $\sigma$ – $\varepsilon$ -диаграммы, где нарушается линейная связь между деформациями и напряжениями. При решении задач пластичности наиболее часто реальные  $\sigma$ – $\varepsilon$ -диаграммы аппроксимируются совокупностью кусочно-ломанных прямых, представляющих идеальное упругопластическое тело или упругое тело с линейным упрочнением. Феноменологические модели вязких сред в упругой, пластической и упругопластической области деформирования (такое разделение принято в механике сплошных сред [8]) выражают зависимость

напряженного состояния в некоторый момент времени  $t$  от истории нагружения за время от нуля до  $t$ . По мнению автора этой работы, полная деформация в вязкоупруго-вязкопластическом теле может быть представлена в виде суммы трех слагаемых

$$\varepsilon^{\text{tot}} = \varepsilon^{\text{el}} + \varepsilon^{\text{v}} + \varepsilon^{\text{pl}}, \quad (1)$$

где  $\varepsilon^{\text{el}}$ ,  $\varepsilon^{\text{v}}$ ,  $\varepsilon^{\text{pl}}$  — компоненты упругой, вязкой и пластической деформации.

Физическая природа составляющих деформации (1) в данной работе не рассматривалась. Чтобы выяснить содержание (1) и определить предмет описания калибровочной модели, проведем анализ полной деформации в рамках континуальной теории дефектов, причина обращения к которой будет пояснена в дальнейшем, при изложении математического алгоритма построения калибровочной теории.

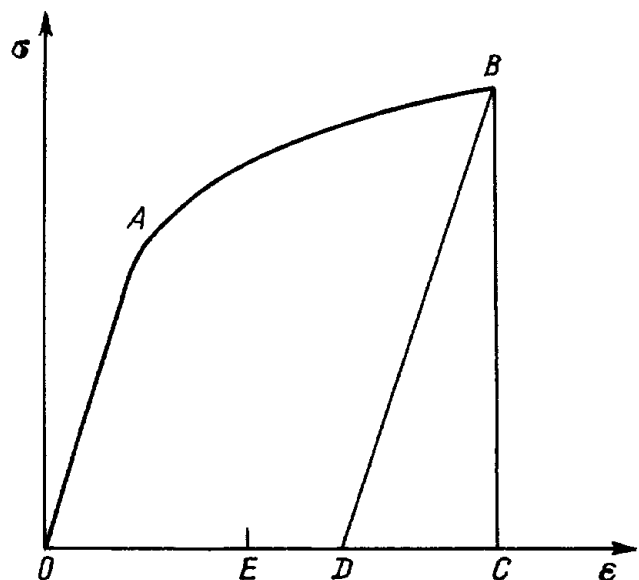


Рис. 1.

### Анализ полной деформации в континуальной теории дефектов

Полная деформация в материале с дефектами может быть представлена в виде суммы трех слагаемых, известных в континуальной теории дефектов,

$$\epsilon^{\text{tot}} = \epsilon^{\text{el}} + \epsilon^{\text{el-plD}} + \epsilon^{\text{pl}}, \quad (2)$$

каждое из которых представляет симметричную часть градиента непрерывного вектора смещений

$$u_{(i,j)}^{\text{tot}} = u_{(i,j)}^{\text{el}} + u_{(i,j)}^{\text{el-plD}} + u_{(i,j)}^{\text{pl}}. \quad (3)$$

В записанном выражении и ниже индексы в круглых скобках обозначают симметрирование, а запятая — производную по координате. Первое слагаемое (2), (3) соответствует упругой деформации, связанной с внешними нагрузками, и при снятии их исчезает со скоростью звуковых волн. Деформация  $\epsilon^{\text{el}}$  удовлетворяет условию совместности

$$e_{ikn}e_{jlm}\epsilon_{nm,kl}^{\text{el}} = 0 \quad (4)$$

и может быть названа внешним полем, поскольку обусловлена внешними нагрузками. Второе слагаемое (2) определяет совместную упругопластическую деформацию, связанную с дефектами материала,

$$e_{ikn}e_{jlm}\epsilon_{nm,kl}^{\text{el-plD}} = 0. \quad (5)$$

Как принято в континуальной теории дислокаций, градиент  $u^{\text{el-plD}}$  представляет сумму упругой и пластической дисторсий

$$u_{i,j}^{\text{el-plD}} = \beta_{ji}^{\text{elD}} + \beta_{ji}^{\text{plD}}, \quad (6)$$

каждая из которых не является градиентом непрерывного вектора смещений. По определению, произвольно

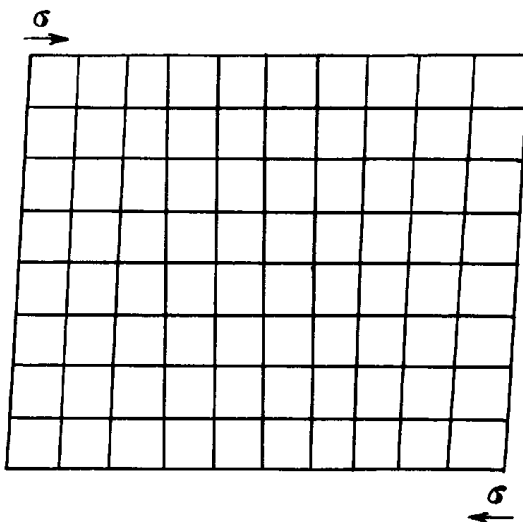


Рис. 2.

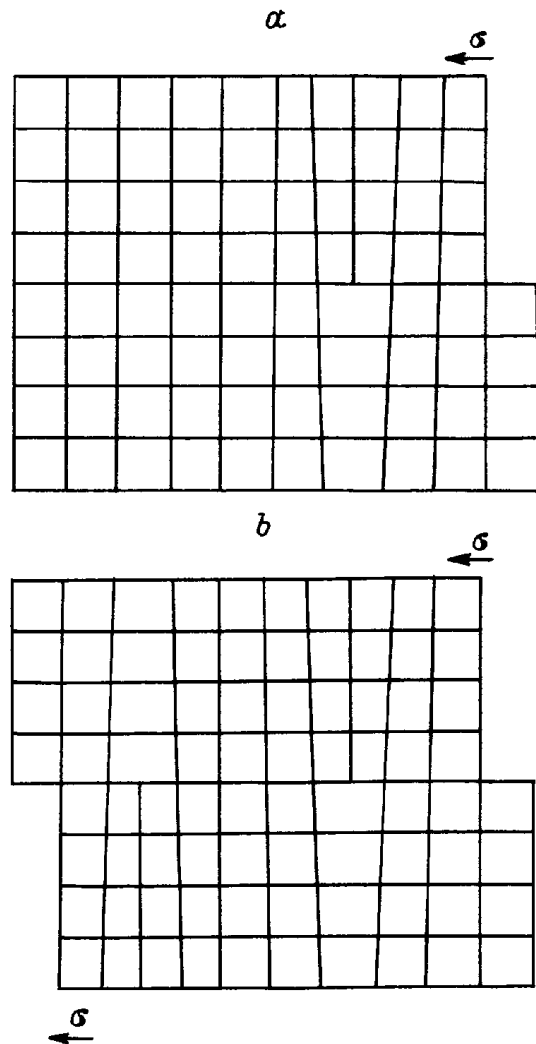


Рис. 3.

заданной пластической дисторсии  $\beta^{\text{plD}}$  соответствует плотность дислокаций

$$\alpha_{ij} = -e_{ikl}\beta_{ljk}^{\text{plD}}, \quad (7)$$

а упругая дисторсия  $\beta^{\text{elD}}$  определяет искажения тела, которые обеспечивают его непрерывность при данной плотности дислокаций

$$e_{ikl}u_{j,tk}^{\text{el-plD}} = e_{ikl}(\beta_{ljk}^{\text{elD}} + \beta_{ljk}^{\text{plD}}) = 0. \quad (8)$$

Поскольку в отдельности  $\beta^{\text{elD}}$  и  $\beta^{\text{plD}}$  не удовлетворяют условию совместности, то для их обозначения используется термин "несовместная упругая" и "несовместная пластическая" дисторсия. Для симметричной части  $\beta^{\text{elD}}$  и  $\beta^{\text{plD}}$  условия совместности имеют вид

$$e_{ikn}e_{jlm}\beta_{(nm),kl}^{\text{elD}} = -e_{ikn}e_{jlm}\beta_{(nm),kl}^{\text{plD}} = -\eta_{ij}, \quad (9)$$

где  $\eta$  — тензор несовместности.

Величины  $\beta^{\text{elD}}$ , обусловленные внутренними источниками — дефектами материала, можно считать внутренним упругим полем. Тензор несовместности  $\eta$  разделяет

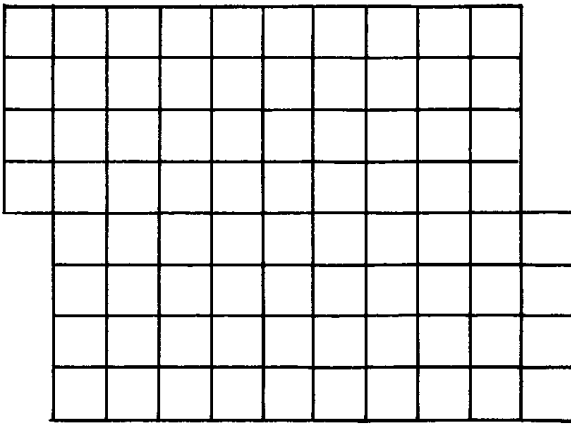


Рис. 4.

упругие поля деформаций (4), (9) на внешние и внутренние. Последнее слагаемое в (2) —  $\varepsilon^{\text{pl}}$  представляет совместную пластическую деформацию, не связанную с напряжениями, и определяет необратимое формоизменение материала за счет аннигиляции дефектов или выхода их на поверхность. Компоненты  $\varepsilon^{\text{pl}}$  удовлетворяют условию совместности

$$e_{ikn}e_{jlm}\varepsilon_{nm,kl}^{\text{pl}} = 0 \quad (10)$$

и определяют деформацию "бездефектного" материала. С точки зрения структуры кристаллической решетки характер составляющих деформации  $\varepsilon^{\text{el}}$ ,  $\varepsilon^{\text{el-plD}}$  и  $\varepsilon^{\text{pl}}$  представлен на рис. 2, 3, *a, b, 4*.

На  $\sigma$ – $\varepsilon$ -диаграмме (рис. 1) упругой деформации  $\varepsilon^{\text{el}}$  соответствует участок *DC*. Деформация *OD*, оставшаяся в материале после упругой разгрузки, в механике пластичности не изменяется со временем. При этом из рассмотрения выпадают процессы разрушения, которые происходят в материале в течение некоторого времени после снятия внешней нагрузки и релаксации внешних упругих полей  $\varepsilon^{\text{el}}$ . Известны различные механизмы разупрочнения. Наиболее изучены процессы, связанные с уменьшением количества дефектов, которые и обсуждаются в дальнейшем. Явление разупрочнения определяет процесс перехода материала из неравновесного состояния к равновесному. Движущей силой этого процесса является уменьшение энергии деформационных дефектов, определяемое величиной  $\beta^{\text{elD}}$ , путем перестройки дефектов в низкоэнергетические конфигурации, аннигиляции, ухода на стоки (поры, свободные поверхности и т.д.). В работе [9] разупрочнение рассматривается как явление обратного механического последствия (ОМП) и приводятся некоторые оценки деформации ОМП. При кручении или изгибе типичные значения деформации ОМП составляют  $10^{-4}$ – $10^{-2}$ . При других способах нагружения эффекты ОМП еще меньше. Для сравнения величина предельной упругой деформации составляет десятые доли процента, если считать, что предел упругости чистых металлов  $10$ – $10^2$  МПа, а модуль Юнга имеет

порядок  $10^4$ – $10^5$  МПа [10]. Отсюда следует, что остаточная деформация *OD* содержит необратимую пластическую часть *OE* ( $\varepsilon^{\text{pl}}$ ) и потенциально обратимую в процессах разупрочнения *ED* ( $\varepsilon^{\text{el-plD}}$ ). Материал в точке *D* после нагружения до точки *B* и последующей разгрузки не находится в неравновесном состоянии, поскольку в нем запасена упругая энергия внутренних полей. Переход к равновесию ОМП осуществляется путем релаксации несовместной упругой дисторсии ( $\beta^{\text{elD}} \rightarrow 0$  целиком или частично). Как следует из (8), в результате релаксации  $\beta^{\text{elD}}$  несовместная пластическая дисторсия  $\beta^{\text{plD}}$  становится совместной, т.е. определяется в виде градиента непрерывного вектора смещений и принадлежит участку *OE*. Деформация участка *OE* не определяет состояние материала, поскольку с энергетической точки зрения начальное (рис. 2) и конечное состояния (рис. 4) не различимы. Предложенная схема разбиения деформации идеализирована, поскольку все составляющие (2) взаимосвязаны и вряд ли можно в отдельности изучать их экспериментально. Однако такое представление позволяет установить взаимосвязь  $\varepsilon^{\text{el}}$ ,  $\varepsilon^{\text{el-plD}}$ ,  $\varepsilon^{\text{pl}}$ , интерпретировать лагранжиан калибровочной модели или попытаться записать лагранжиан среды с дефектами на основе физических соображений и получить динамические уравнения, устанавливающие взаимодействие внешних и внутренних упругих полей.

## Алгоритм построения калибровочной модели

Как показано в работах [1,4], на основе нелинейного лагранжиана теории упругости могут быть построены динамические модели твердого тела с дислокациями, дисклинациями и дефектами обоих типов. В качестве первого приближения в дальнейшем рассматривается линейная модель упругого тела с дислокациями. Схематично процедура построения калибровочной модели состоит в том, что записывается лагранжиан однородного изотропного упругого тела

$$L = \int dv \left\{ \frac{\rho}{2} \frac{\partial u_i}{\partial t} \frac{\partial u_i}{\partial t} - \frac{\mu}{2} \left( \frac{\partial u_i}{\partial x_j} \frac{\partial u_i}{\partial x_j} - \frac{\partial u_i}{\partial x_j} \frac{\partial u_j}{\partial x_i} \right) - \frac{\lambda}{2} \frac{\partial u_j}{\partial x_j} \frac{\partial u_i}{\partial x_i} \right\} \quad (11)$$

и определяется его калибровочная группа. В выражении (11)  $u_i$  — вектор упругих смещений,  $\lambda$ ,  $\mu$  — коэффициенты Ламэ,  $\rho$  — плотность материала. Исходный лагранжиан инвариантен относительно однородных трансляций

$$u_i(x, t) = u_i(x, t) + a_i, \quad (12)$$

что соответствует переносу упругого тела как целого. Локализация группы трансляции

$$u_i(x, t) = u_i(x, t) + a_i(x, t) \quad (13)$$

нарушает инвариантность (11), поскольку появляются добавки, связанные с дифференцированием параметров группы  $a_i(x, t)$ . Процедура минимальной замены, при которой обычные производные заменяются удлиненными

$$\frac{\partial u_i}{\partial x_j} \rightarrow D_j u_i = \frac{\partial u_i}{\partial x_j} + \beta_{ji}, \quad \frac{\partial u_i}{\partial t} \rightarrow D_0 u_i = \frac{\partial u_i}{\partial t} + v_i, \quad (14)$$

восстанавливает инвариантность (11) при неоднородных преобразованиях (13)

$$L_1 = \int dv \left\{ \frac{\rho}{2} D_0 u_i D_0 u_i - \frac{\mu}{2} (D_j u_i D_j u_i - D_j u_i D_i u_j) - \frac{\lambda}{2} D_j u_j D_i u_i \right\}. \quad (15)$$

При замене (14) появляются новые калибровочные или компенсирующие поля  $\beta_{ij}$ ,  $v_i$ , с которыми, согласно [1], связана дополнительная кинетическая и потенциальная энергия, определяющая лагранжиан калибровочных полей

$$L_2 = \int dv \left\{ \frac{B}{2} I_{ij} I_{ij} - \frac{S}{2} \alpha_{ij} \alpha_{ij} \right\} \quad (16)$$

как функцию величин

$$I_{ij} = \frac{\partial v_j}{\partial x_i} - \frac{\partial \beta_{ij}}{\partial t}, \quad \alpha_{ij} = e_{ikl} \frac{\partial}{\partial x_k} \beta_{lj}, \quad (17), (18)$$

где  $B$  и  $S$  — новые константы теории.

Процедура построения калибровочной модели (11)–(18), более подробно описанная в [1,4], не раскрывает физического содержания потенциалов модели  $\beta$ ,  $v$ ,  $u$ . Чтобы решить эту задачу обратимся к схеме представления полной деформации в рамках континуальной теории дефектов (2), поскольку локализация группы трансляции в точке (13) соответствует введению единичной дислокации Вольтера, а функциональная зависимость от координат определяет усредненное распределение дефектов [11,12].

### Физический смысл калибровочных полей

Согласно (2), (6), упругие искажения в материале с дефектами (14) определяются обратимой упругой дисторсией, связанной с внешними нагрузками, и несовместной упругой дисторсией, обусловленной дефектами материала,

$$D_j u_i = u_{i,j}^{el} + \beta_{ji}^{elD}. \quad (19)$$

Скорость полных смещений, определяющая кинетическую энергию  $L_1$ , может быть представлена в виде суммы скоростей упругих смещений и смещений обусловленных дефектами материала,

$$D_0 u_i = \frac{\partial u_i^{el}}{\partial t} + v_i, \quad \text{где } v_i = \frac{\partial}{\partial t} u_i^{el-plD}. \quad (20)$$

Скорость  $v^{pl}$ , вычисляемая как производная по времени от совместных пластических смещений  $u^{pl}$ , не дает вклада в кинетическую энергию  $L_1$ , поскольку приращение этой величины определяется процессами релаксации в системе дефектов, принадлежащих участку  $ED$  на рис. 1. Если предположить, что  $v^{pl}$  является слагаемым  $D_0 u_i$ , то необходимо допустить, что под действием внешней нагрузки все атомы в плоскости скольжения на протяжении макрообразца одновременно испытывают сдвиг на вектор, кратный периоду решетки. Это допущение невозможно в твердых телах, по мнению Коттрела [13], хотя такие процессы, наверное, могут протекать в жидкости и средах типа пластилин.

При найденных значениях потенциалов  $u^{el}$ ,  $\beta^{elD}$ ,  $v$  лагранжиан калибровочных полей  $L_2$  определяется тензором плотности дислокаций

$$\alpha_{ij} = e_{ikl} \beta_{lj,k}^{elD} \quad (21)$$

и плотностью потока дислокаций  $I_{ij}$ . По определению,

$$I = - \frac{\partial \beta^{plD}}{\partial t}. \quad (22)$$

Несложные преобразования в рамках предложенной схемы (2) позволяют выразить тензор плотности потока дислокаций через тензор несовместной упругой дисторсии и скорость смещений, обусловленных дефектами материала

$$I_{ij} = - \frac{\partial}{\partial t} (u_{j,i}^{el-plD} - \beta_{ij}^{elD}) = \frac{\partial \beta_{ij}^{elD}}{\partial t} - \frac{\partial v_j}{\partial x_i}. \quad (23)$$

Попытаемся обосновать лагранжиан калибровочной модели с физической точки зрения. Как ясно из анализа составляющих полной деформации рис. 1, состояние материала в точке  $B$  можно описать на основе модели смеси двух континуумов: упругого континуума и континуума дефектов. В упругом континууме формируется эффективное поле (19) как суперпозиция внешних и внутренних полей. Потенциальной энергии эффективных полей соответствует второй член  $L_1$  (15). Кинетическая энергия материальных точек определяется скоростью (20). Состояние континуума дефектов характеризуется тензором плотности дислокаций (21) и плотностью потока дислокаций (23), однородные квадратичные функции которых определяют лагранжиан  $L_2$  (16). Поскольку приращения совместных пластических смещений не дают вклада в потенциальную и кинетическую энергию, то полный лагранжиан калибровочной модели ( $L = L_1 + L_2$ ) может быть записан через вектор смещений  $u^t = u^{el} + u^{el-plD}$  и тензор дисторсии  $\beta^{plD}$ :

$$D_0 u_i = \frac{\partial u_i^t}{\partial t}, \quad D_j u_i = u_{i,j}^t - \beta_{ji}^{plD},$$

$$\alpha_{ij} = -e_{ikl} \beta_{lj,k}^{plD}, \quad I_{ij} = - \frac{\partial \beta_{ij}^{plD}}{\partial t}. \quad (24)$$

Стандартным образом из условия стационарности интеграла действия определяются динамические уравнения модели

$$\rho \frac{\partial^2 u_i}{\partial t^2} - \lambda \frac{\partial^2 u_j}{\partial x_i \partial x_j} - \mu \left( \frac{\partial^2 u_i}{\partial x_j \partial x_j} + \frac{\partial^2 u_j}{\partial x_i \partial x_i} \right) + \mu \left( \frac{\partial \beta_{ij}}{\partial x_j} + \frac{\partial \beta_{ji}}{\partial x_i} \right) + \lambda \frac{\partial \beta_{kk}}{\partial x_i} = 0,$$

$$B \frac{\partial^2 \beta_{ij}}{\partial t^2} - S \left( \frac{\partial^2 \beta_{ij}}{\partial x_k \partial x_k} - \frac{\partial^2 \beta_{kj}}{\partial x_k \partial x_i} \right) - \lambda \frac{\partial u_k}{\partial x_k} \delta_{ij} - \mu \left( \frac{\partial u_i}{\partial x_j} + \frac{\partial u_j}{\partial x_i} \right) + \mu (\beta_{ij} + \beta_{ji}) - \lambda \beta_{kk} \delta_{ij} = 0,$$

в которых опущены верхние индексы  $u^i, \beta^{iD}$ .

## Заключение

Система уравнений движения калибровочной модели при любом выборе независимых переменных определяет динамику упругого тела с внутренними напряжениями. Предмет описания калибровочной теории наиболее выражен в соотношениях (19)–(23), где в качестве независимых переменных рассматриваются упругие величины  $u^{el}, \beta^{elD}$ . Если феноменологическим путем учесть диссипацию энергии, связанную с релаксацией внешних и внутренних напряжений, например, как предложено в [5,6], то получим модель, описывающую вязкоупругие свойства материалов. Процессы накопления совместной пластической деформации, обусловленные аннигиляцией дефектов или выходом на стоки, в данной теории не учитываются, хотя определение этих закономерностей необходимо для создания физической теории пластичности. Динамические уравнения калибровочной модели могут быть использованы для анализа неупругого поведения материалов, предполагающего в общем случае существование трех составляющих деформации (2) лишь при условии, что совместная пластическая деформация незначительна. Необходимые условия реализуются в процессах ударноволнового нагружения, когда большая часть дефектов не успевает выйти на поверхность, обуславливая появление совместной пластической деформации.

## Список литературы

- [1] Kadic A., Edelen D.G.B. A Gauge Theory of Dislocations and Disclinations. Lecture Notes in Physics. Heidelberg: Springer, 1983. Vol. 174. 168 p.
- [2] Edelen D.G.B., Lagoudas D.C. A Gauge Theory and Defects in Solids. Amsterdam: North Holland, 1988. 189 p.
- [3] Edelen D.G.B., Lagoudas D.C. // Int. J. Eng. Sci. 1988. Vol. 26. N 8. P. 837–841.
- [4] Гриняев Ю.В., Чертова Н.В. // Изв. вузов. Физика. 1990. № 2. С. 34–50.

- [5] Попов В.Л., Чертова Н.В. // Изв. вузов. Физика. 1992. № 4. С. 81–93.
- [6] Chertova N.V. // Int. J. Eng. Sci. 1988. Vol. 33. N 9. P. 1315–1318.
- [7] Ляв А.Э. Математическая теория упругости. М.: ОНТИ, 1935.
- [8] Пэжина П. Основные вопросы вязкопластичности. М.: Мир, 1968. 176 с.
- [9] Волынецев А.Б. Наследственная механика дислокационных ансамблей. Иркутск: Изд-во Иркутского ун-та, 1990. 288 с.
- [10] Займовский В.А., Колупаева Т.Л. Необычайные свойства обычных металлов. М.: Наука, 1984. 191 с.
- [11] Эшелби Дж. Континуальная теория дислокаций. М.: ИЛ, 1963. 268 с.
- [12] Де Витт Р. Континуальная теория дисклинаций. М.: Мир, 1977. 208 с.
- [13] Коттрел А. Теория дислокаций. М.: Мир, 1969. 95 с.